

УДК 538.24

## **РОЛЬ ПОВЕРХНОСТИ В ФОРМИРОВАНИИ НАПРЯЖЕННОГО СОСТОЯНИЯ У КЛИНОВИДНОГО НАНОДВОЙНИКА**

**О. М. ОСТРИКОВ**

*Учреждение образования «Гомельский государственный  
технический университет имени П. О. Сухого»,  
Республика Беларусь*

Двойникование является одним из основных каналов пластической деформации твердых тел [1]–[3]. Оно, как правило, проявляется в случаях, когда затруднительно развитие скольжения, например, из-за ориентационного запрета и низких температур [1], [2]. В настоящее время нет однозначного мнения о роли двойникования в процессах разрушения двойникующихся материалов. Исследования, проведенные на кремнистом железе [4], показывают, что двойниковые прослойки, границы которых являются концентраторами больших внутренних напряжений, способствуют зарождению трещин. Этого не наблюдается у таких пластичных материалов, как висмут, сурьма [3], [5]–[7], где напряжения двойниковых границ активизируют процессы зарождения и развития полных дислокаций. Имеется мнение, что двойникование является резервом пластичности материалов, так как, вступая в действие на конечной стадии пластической деформации, оно в ходе деформирования материала отодвигает во времени процесс зарождения трещин и разрушения [8].

В настоящее время накоплен обширный экспериментальный материал по исследованию двойникования материалов [8]–[10]. При этом назрела необходимость в развитии математического моделирования и глубокого теоретического исследования механического двойникования [11]–[13]. При высоком уровне имеющихся экспериментальных работ по двойникованию имеется необходимость в развитии представлений о механизмах зарождения и развитии двойников, моделировании процессов, наблюдаемых при двойниковании. Особое место при этом занимают задачи, связанные с математическим моделированием процессов на начальной стадии развития двойника, так как данная стадия во многом определяет характер дальнейшего развития двойника.

Целью данной работы стало изучение влияния поверхности на напряженное состояние у клиновидного зародыша двойника.

Клиновидные двойники чаще образуются у поверхности кристалла при деформировании ее инденторами или штампами. Поэтому изучение роли поверхности в формировании напряженно-деформированного состояния у клиновидного двойника имеет важное практическое значение.

Вектор Бюргерса двойникующих дислокаций может быть разложен на две составляющие: винтовую ( $b_s$ ) и краевую ( $b_{кр}$ ), так как двойникующие дислокации являются частичными дислокациями [1]. Для определения вклада краевой составляющей решим плоскую задачу теории упругости, для которой справедливо уравнение [14]:

$$\left. \begin{aligned} u_1 = u_1(x_1, x_2), u_2 = u_2(x_1, x_2), u_3 = 0 \\ \partial u_1 / \partial x_3 = 0, \partial u_2 / \partial x_3 = 0, \partial u_3 / \partial x_3 = 0, \end{aligned} \right\} \quad (1)$$

где  $u_i$  – смещения,  $x_i$  ( $i = 1, 2, 3$  или  $x, y, z$ ) – прямоугольные декартовы координаты.

Исходя из условий (1), можно получить дополнительные характеристики плоского деформированного состояния [14]:

$$\left. \begin{aligned} \frac{\partial \sigma_{11}}{\partial x_1} + \frac{\partial \sigma_{12}}{\partial x_2} &= 0 \\ \frac{\partial \sigma_{12}}{\partial x_1} + \frac{\partial \sigma_{22}}{\partial x_2} &= 0. \end{aligned} \right\} \quad (2)$$

Система (2) получена из условия равновесия [14]:

$$\frac{\partial \sigma_{i1}}{\partial x_1} + \frac{\partial \sigma_{i2}}{\partial x_2} + \frac{\partial \sigma_{i3}}{\partial x_3} + f_i^V = 0,$$

или в более сжатом виде

$$\frac{\partial \sigma_{ij}}{\partial x_j} + f_i^V = 0,$$

где  $f_i^V$  –  $i$ -я компонента объемной силы, действующей на единицу объема.

Уравнения (2) выполняются, если

$$\left. \begin{aligned} \sigma_{11} &= \frac{\partial^2 \psi}{\partial x_2^2} \\ \sigma_{22} &= \frac{\partial^2 \psi}{\partial x_1^2} \\ \sigma_{12} &= -\frac{\partial^2 \psi}{\partial x_1 \partial x_2}, \end{aligned} \right\}$$

где  $\psi$  – функция напряжений Эйри.

Дифференцированием соотношений Коши [14]:

$$\varepsilon_{ij} = \frac{1}{2} \left( \frac{\partial u_i}{\partial x_j} + \frac{\partial u_j}{\partial x_i} \right) \quad (3)$$

можно получить уравнение совместимости для случая плоской деформации

$$\frac{\partial^2 \varepsilon_{11}}{\partial x_2^2} + \frac{\partial^2 \varepsilon_{22}}{\partial x_1^2} = 2 \frac{\partial^2 \varepsilon_{12}}{\partial x_1 \partial x_2}. \quad (4)$$

Подставляя в (4) значения  $\varepsilon_{ij}$  из

$$\left. \begin{aligned} \varepsilon_{11} &= \frac{1}{E} [\sigma_{11} - \nu(\sigma_{22} + \sigma_{33})] \\ \varepsilon_{22} &= \frac{1}{E} [\sigma_{22} - \nu(\sigma_{11} + \sigma_{33})] \\ \varepsilon_{33} &= \frac{1}{E} [\sigma_{33} - \nu(\sigma_{11} + \sigma_{22})] \\ \varepsilon_{23} &= \frac{1}{2\mu} \sigma_{23} \\ \varepsilon_{31} &= \frac{1}{2\mu} \sigma_{31} \\ \varepsilon_{12} &= \frac{1}{2\mu} \sigma_{12} \end{aligned} \right\}$$

и, используя соотношения

$$\left. \begin{aligned} E &= \frac{\mu(3\lambda + 2\mu)}{\mu + \lambda} = \frac{9\mu B}{3B + \mu} = 2\mu(1 + \nu) \\ \nu &= \frac{3B - 2\mu}{2(3B + \mu)} = \frac{\lambda}{2(\mu + \lambda)} = \frac{E - 2\mu}{2\mu} \\ \mu &= \frac{E}{2(1 + \nu)} \\ \lambda &= \frac{\nu E}{(1 + \nu)(1 - 2\nu)} = \frac{2\nu\mu}{1 - 2\nu}, \end{aligned} \right\}$$

где

$$B = \frac{1}{K}, \quad K = \frac{3}{3\lambda + 2\mu},$$

(здесь  $\lambda$  – коэффициент Ламе;  $\mu$  – модуль сдвига;  $\nu$  – коэффициент Пуассона;  $E$  – модуль Юнга), получим [15]:

$$\frac{\partial^4 \psi}{\partial x_1^4} + 2 \frac{\partial^4 \psi}{\partial x_1^2 \partial x_2^2} + \frac{\partial^4 \psi}{\partial x_2^4} = 0. \quad (5)$$

Уравнение (5) может быть представлено в виде [14]:

$$\nabla^4 \psi = \nabla^2 (\nabla^2 \psi) = \left( \frac{\partial^2}{\partial x_1^2} + \frac{\partial^2}{\partial x_2^2} \right)^2 \psi = 0. \quad (6)$$

Прямая краевая дислокация создает плоское деформированное состояние, определяемое условиями [14]:

$$u_z = 0, \quad \frac{\partial u_i}{\partial z} = 0.$$

Для функции напряжений Эйри уравнение (6) в полярных координатах, для краевой дислокации примет вид [14]:

$$\left( \frac{\partial^2}{\partial r^2} + \frac{1}{r} \frac{\partial}{\partial r} + \frac{1}{r^2} \frac{\partial^2}{\partial \theta^2} \right)^2 \psi = \beta_1 r^{-1} \sin \theta, \quad (7)$$

где  $\beta_1$  – константа.

Частным решением уравнения (7) является [14]:

$$\psi_{кр} = \frac{\beta_1}{2} r \sin \theta \ln r. \quad (8)$$

Для модуля вектора Бюргерса краевой составляющей двойникующей дислокации справедливо соотношение [14]:

$$b_{кр} = - \int_{-\infty}^{\infty} [\varepsilon_{xx}(x, \eta) - \varepsilon_{xx}(x, -\eta)] dx,$$

где  $\eta \rightarrow 0$  и  $\eta$  положительно.

С учетом (6), из закона Гука получим [14]:

$$b_{кр} = -\frac{2\pi(1-\nu)\beta_1}{\mu} \frac{\beta_1}{2}, \quad \beta_1 = -\frac{\mu b_{кр}}{\pi(1-\nu)}.$$

Тогда функция напряжений (8) примет вид [14]:

$$\Psi_{кр} = -\frac{\mu b_{кр} y}{4\pi(1-\nu)} \ln(x^2 + y^2). \quad (9)$$

Для решаемой задачи о клиновидном двойнике на мезоскопическом уровне из (9) получим:

$$\Psi_{кр} = -\frac{\mu b_{кр}}{4\pi(1-\nu)} \left( \sum_{n=0}^N (y+nh) \ln((x-nd)^2 + (y+nh)^2) + \sum_{m=1}^M (y-mh) \ln((x-md)^2 + (y-mh)^2) \right), \quad (10)$$

где  $n$  и  $m$  – индексы суммирования;  $d$  и  $h$  – проекции, соответственно, на оси  $OX$  и  $OY$  отрезка, соединяющего две соседние дислокации (рис. 2);  $N$  и  $M$  – число дислокаций на каждой из границ двойника.

Согласно работе [16], данная задача может быть поставлена и в смещениях  $\vec{u}$  с помощью двумерной  $\delta$ -функции в виде

$$\Delta \vec{u} + \frac{1}{1-2\nu} \nabla \operatorname{div} \vec{u} = [\vec{\tau} \vec{b}] \delta(\vec{\xi}), \quad (11)$$

где  $\vec{\tau}$  – вектор касательной к линии дислокации;  $\vec{\xi}$  – двумерный радиус-вектор, который в заданной точке отсчитывается от линии дислокации в перпендикулярной вектору  $\vec{\tau}$  плоскости.

Для прямолинейной краевой дислокации, когда проекции на оси  $x$ ,  $y$  и  $z$  равны  $b_x = b_{кр}$ ,  $b_y = b_z = 0$ , уравнение (11) примет вид [16]:

$$\Delta \vec{u} + \frac{1}{1-2\nu} \nabla \operatorname{div} \vec{u} = -b_{кр} \vec{j} \delta(\vec{r}), \quad (12)$$

где  $\vec{j}$  – единичный вектор вдоль оси  $y$ .

Для определения вклада находящейся у поверхности краевой составляющей двойнивающей дислокации в напряженное состояние решение уравнения (5) будем искать в виде [14]:

$$\psi = X(x)Y(y). \quad (13)$$

Подстановка (13) в (5) дает уравнение вида

$$\frac{\partial^4 X}{\partial x^4} + \frac{2}{Y} \frac{\partial^2 X}{\partial x^2} \frac{\partial^2 Y}{\partial y^2} + \frac{X}{Y} \frac{\partial^4 Y}{\partial y^4} = 0.$$

Для того чтобы переменные разделялись,  $(\partial^2 Y / \partial y^2) / Y$  и  $(\partial^4 Y / \partial y^4) / Y$  не должны зависеть от  $y$ . Поэтому функцию  $Y$  целесообразно искать в виде [14]:

$$Y = \alpha_0 \sin k_0 y + \beta_0 \cos k_0 y. \quad (14)$$

Тогда дифференциальное уравнение для  $X$  примет вид:

$$\frac{\partial^4 X}{\partial x^4} - 2k_0^2 \frac{\partial^2 X}{\partial x^2} + k_0^4 X = 0.$$

Решение этого уравнения [14]:

$$X = (\alpha_0 + \alpha_1 x) e^{k_0 x} + (\gamma_0 + \gamma_1 x) e^{-k_0 x}. \quad (15)$$

Используя условия [14]:

$$\gamma_0 = \gamma_1 = 0 \text{ при } X \rightarrow 0 \text{ и } x \rightarrow -\infty,$$

$$\alpha_0 = 0 \text{ при } \sigma_{xx}(0, y) = 0 \text{ и } X(0, y) = 0,$$

при суперпозиции выражений (14) и (15) получается окончательное решение [14]:

$$\psi = \int_0^{\infty} \alpha_0(k_0) x e^{k_0 x} \cos k_0 y dk_0, \quad (16)$$

где слагаемое, пропорциональное  $\cos k_0 y$ , опущено. Это связано с тем, что должны быть четными по  $y$  функции [14]:

$$\sigma_{xy}^+(0, y) = \frac{\mu b_{кр}}{\pi(1-\nu)} \frac{l(l^2 - y^2)}{r^4};$$

$$\sigma_{xy}^-(0, y) = -\frac{\mu b_{кр}}{\pi(1-\nu)} \frac{l(l^2 - y^2)}{r^4},$$

где

$$r = (l^2 + y^2)^{1/2},$$

$l$  – расстояние от дислокации до поверхности.

Тогда граничное условие для  $\sigma_{xy}(0, y)$  дает [14]:

$$-\sigma_{xy}(0, y) = \left( \frac{\partial^2 \psi}{\partial x \partial y} \right)_{x=0} = \int_0^{\infty} \alpha_0(k_0) k_0 \cos k_0 y dk_0 = \frac{\mu b_{кр}}{\pi(1-\nu)} \frac{l(l^2 - y^2)}{(l^2 + y^2)^2}.$$

Проводя обратное преобразование Фурье, получим [14]:

$$k_0 \alpha_0(k_0) = \frac{\mu b_{кр}}{\pi^2(1-\nu)} \int_0^{\infty} \frac{l(l^2 - y^2)}{(l^2 + y^2)^2} \cos k_0 y dy.$$

Окончательно компоненты тензора напряжений у двойникующей дислокации, находящейся у поверхности, имеют вид [14]:

$$\sigma_{xx} = -\frac{2\mu b_{кр} l x y}{\pi(1-\nu) r^6} [3(l-x)^2 - y^2];$$

$$\sigma_{yy} = \frac{\mu b_{кр} l}{\pi(1-\nu) r^6} [4(l-x)^3 + 6xy(l-x)^2 + 4y^3(l-x) - 2xy^3];$$

$$\sigma_{xy} = -\frac{\mu b_{\text{кр}} l}{\pi(1-\nu)r^6} [(l-x)^4 + 2x(l-x)^3 - 6xy^2(l-x) - y^4];$$

$$\sigma_{zz} = \frac{4\mu\nu b_{\text{кр}} l}{\pi(1-\nu)r^6} [y(l-x)^3 + y^3(l-x)]. \quad (17)$$

Соотношения (17) могут быть использованы для расчета напряженного состояния у нанодвойника, находящегося у поверхности кристалла. Для этого произведем следующие замены:  $l \rightarrow L - nd$ ,  $y \rightarrow y - mh$  и  $y \rightarrow y + mh$ . Тогда с учетом представленного на рис. 1 схематического дислокационного изображения клиновидного нанодвойника, находящегося у поверхности, получим:

$$\sigma_{xx} = -\frac{2\mu b_{\text{кр}}}{\pi(1-\nu)} \left[ \sum_{m=0}^{M-1} \sum_{n=0}^{N-1} \frac{(L-nd)x(y-mh)[3(L-nd-x)^2 - (y-mh)^2]}{\left((L-nd-x)^2 + (y-mh)^2\right)^3} + \right. \\ \left. + \sum_{m=0}^{M-1} \sum_{n=1}^{N-1} \frac{(L-nd)x(y+mh)[3(L-nd-x)^2 - (y+mh)^2]}{\left((L-nd-x)^2 + (y+mh)^2\right)^3} \right];$$

$$\sigma_{yy} = \frac{\mu b_{\text{кр}}}{\pi(1-\nu)} \left[ \sum_{m=0}^{M-1} \sum_{n=0}^{N-1} \frac{L-nd}{\left((L-nd-x)^2 + (y-mh)^2\right)^3} \left( 4(L-nd-x)^3 + \right. \right. \\ \left. \left. + 6x(y-mh)(L-nd-x)^2 + 4(y-mh)^3(L-nd-x) - 2x(y-mh)^3 \right) + \right. \\ \left. + \sum_{m=0}^{M-1} \sum_{n=1}^{N-1} \frac{L-nd}{\left((L-nd-x)^2 + (y+mh)^2\right)^3} \left( 4(L-nd-x)^3 + \right. \right. \\ \left. \left. + 6x(y+mh)(L-nd-x)^2 + 4(y+mh)^3(L-nd-x) - 2x(y+mh)^3 \right) \right];$$

$$\sigma_{xy} = -\frac{\mu b_{\text{кр}}}{\pi(1-\nu)} \left[ \sum_{m=0}^{M-1} \sum_{n=0}^{N-1} \frac{L-nd}{\left((L-nd-x)^2 + (y-mh)^2\right)^3} \left( (L-nd-x)^4 + \right. \right. \\ \left. \left. + 2x(L-nd-x)^3 - 6x(y-mh)^2(L-nd-x) - (y-mh)^4 \right) + \right. \\ \left. + \sum_{m=0}^{M-1} \sum_{n=1}^{N-1} \frac{L-nd}{\left((L-nd-x)^2 + (y+mh)^2\right)^3} \left( (L-nd-x)^4 + \right. \right. \\ \left. \left. + 2x(L-nd-x)^3 + 6x(y+mh)^2(L-nd-x) - (y+mh)^4 \right) \right];$$

$$\sigma_{zz} = \frac{\mu b_{\text{кр}}}{\pi(1-\nu)} \left[ \sum_{m=0}^{M-1} \sum_{n=0}^{N-1} \frac{(L-nd)[(y-mh)(L-nd-x)^3 + (y-mh)^3(L-nd-x)]}{\left((L-nd-x)^2 + (y-mh)^2\right)^3} + \right. \\ \left. + \sum_{m=0}^{M-1} \sum_{n=1}^{N-1} \frac{(L-nd)[(y+mh)(L-nd-x)^3 + (y+mh)^3(L-nd-x)]}{\left((L-nd-x)^2 + (y+mh)^2\right)^3} \right].$$

Аналогично не трудно показать, что

$$\sigma_{xz} = \frac{\mu b_B}{2\pi} \left[ \sum_{m=0}^{M-1} \sum_{n=0}^{N-1} \frac{y - mh}{(x - L + nd)^2 + (y - mh)^2} - \sum_{m=0}^{M-1} \sum_{n=1}^{N-1} \frac{y + mh}{(x - L + nd)^2 + (y + mh)^2} \right];$$

$$\sigma_{yz} = \frac{\mu b_B}{2\pi} \left[ \sum_{m=0}^{M-1} \sum_{n=0}^{N-1} \frac{x - L + nd}{(x - L + nd)^2 + (y - mh)^2} - \sum_{m=0}^{M-1} \sum_{n=1}^{N-1} \frac{x - L + nd}{(x - L + nd)^2 + (y + mh)^2} \right].$$

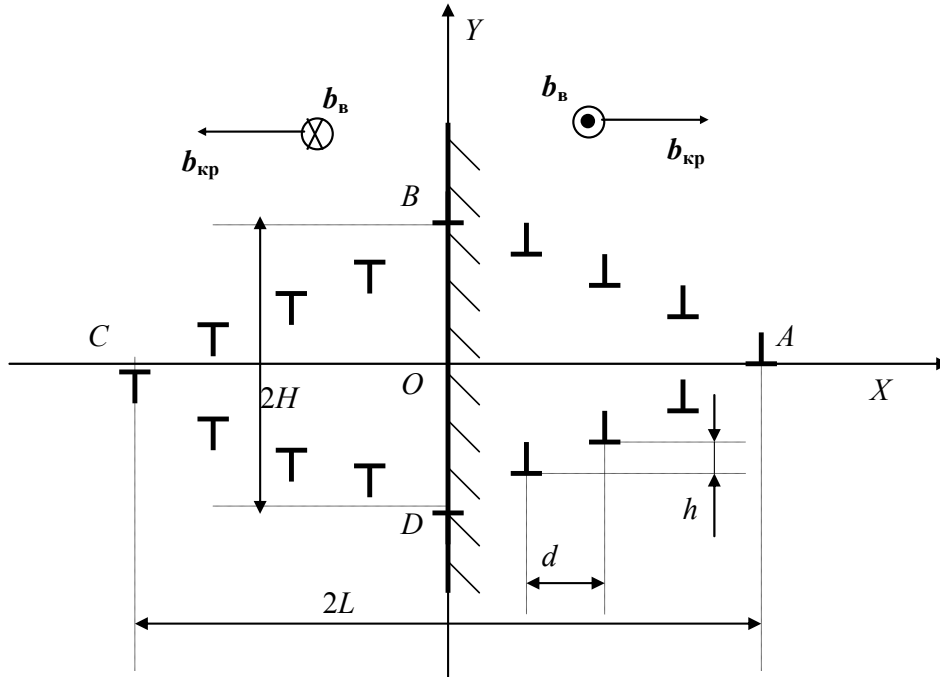


Рис. 1. Схематическое изображение распределения дислокаций в системе «клиновидный нанодвойник и нанодвойник-изображение»

Если пренебречь допущением того, что на поверхности кристалла должны равняться нулю напряжения, созданные двойником, находящимся у поверхности, можно получить приближенные соотношения для расчета напряжений в рассматриваемой задаче. Известно [14], что напряженное состояние у клиновидного двойника, находящегося у поверхности кристалла, может быть найдено сложением напряжений двойникующих дислокаций клиновидного двойника и двойника-изображения, состоящего из дислокаций противоположного знака (рис. 2). Схематическое изображение взаимного расположения двойникующих дислокаций в такой совокупности двойников представлено на рис. 1. Пусть данные составляющие вектора Бюргера будут направлены так, как это показано на рис. 1. Тогда исходя из соотношений для напряжений у единичной дислокации [14], используя принцип суперпозиции, не трудно показать, что для клиновидного зародыша двойника у поверхности кристалла справедливы следующие соотношения для компонент тензора напряжений:

$$\sigma_{xx} = -\frac{\mu b_{кр}}{2\pi(1-\nu)} \left( \sum_{n=0}^N \frac{(y + nh)[3(x + nd - L)^2 + (y + nh)^2]}{[(x + nd - L)^2 + (y + nh)^2]^2} - \sum_{n=0}^{N-1} \frac{(y + nh)[3(x - nd + L)^2 + (y + nh)^2]}{[(x - nd + L)^2 + (y + nh)^2]^2} + \right.$$

$$\begin{aligned}
& + \sum_{n=1}^{N-1} \frac{(y-nh)[3(x+nd-L)^2 + (y-nh)^2]}{[(x+nd-L)^2 + (y-nh)^2]^2} - \\
& - \sum_{n=1}^N \frac{(y-nh)[3(x-nd+L)^2 + (y-nh)^2]}{[(x-nd+L)^2 + (y-nh)^2]^2} \Bigg); \\
\sigma_{yy} = & \frac{\mu b_{\text{кр}}}{2\pi(1-\nu)} \left( \sum_{n=0}^N \frac{(y+nh)[(x+nd-L)^2 - (y+nh)^2]}{[(x+nd-L)^2 + (y+nh)^2]^2} - \right. \\
& - \sum_{n=0}^{N-1} \frac{(y+nh)[(x-nd+L)^2 - (y+nh)^2]}{[(x-nd+L)^2 + (y+nh)^2]^2} + \\
& + \sum_{n=1}^{N-1} \frac{(y-nh)[(x+nd-L)^2 - (y-nh)^2]}{[(x+nd-L)^2 + (y-nh)^2]^2} - \\
& \left. - \sum_{n=1}^N \frac{(y-nh)[(x-nd+L)^2 - (y-nh)^2]}{[(x-nd+L)^2 + (y-nh)^2]^2} \right); \\
\sigma_{zz} = & - \frac{\mu b_{\text{кр}} \nu}{2\pi(1-\nu)} \left( \sum_{n=0}^N \frac{y+nh}{(x+nd-L)^2 + (y+nh)^2} - \right. \\
& - \sum_{n=0}^{N-1} \frac{y+nh}{(x-nd+L)^2 + (y+nh)^2} + \sum_{n=1}^{N-1} \frac{y-nh}{(x+nd-L)^2 + (y-nh)^2} - \\
& \left. - \sum_{n=1}^N \frac{y-nh}{(x-nd+L)^2 + (y-nh)^2} \right); \\
\sigma_{xy} = & \frac{\mu b_{\text{кр}}}{2\pi(1-\nu)} \left( \sum_{n=0}^N \frac{(x+nd-L)[(x+nd-L)^2 - (y+nh)^2]}{[(x+nd-L)^2 + (y+nh)^2]^2} - \right. \\
& - \sum_{n=0}^{N-1} \frac{(x-nd+L)[(x-nd+L)^2 - (y+nh)^2]}{[(x-nd+L)^2 + (y+nh)^2]^2} + \\
& + \sum_{n=1}^{N-1} \frac{(x+nd-L)[(x+nd-L)^2 - (y-nh)^2]}{[(x+nd-L)^2 + (y-nh)^2]^2} - \\
& \left. - \sum_{n=1}^N \frac{(x-nd+L)[(x-nd+L)^2 - (y-nh)^2]}{[(x-nd+L)^2 + (y-nh)^2]^2} \right); \\
\sigma_{xz} = & - \frac{\mu b_{\text{B}}}{2\pi} \left( \sum_{n=0}^N \frac{y+nh}{(x+nd-L)^2 + (y+nh)^2} - \right. \\
& - \sum_{n=0}^{N-1} \frac{y+nh}{(x-nd+L)^2 + (y+nh)^2} + \sum_{n=1}^{N-1} \frac{y-nh}{(x+nd-L)^2 + (y-nh)^2} - \\
& \left. - \sum_{n=1}^N \frac{y-nh}{(x-nd+L)^2 + (y-nh)^2} \right);
\end{aligned}$$



$$\sigma_{yz} = \frac{\mu b_B}{2\pi} \left( \sum_{n=0}^N \frac{x+nd-L}{(x+nd-L)^2 + (y+nh)^2} - \sum_{n=0}^{N-1} \frac{x-nd+L}{(x-nd+L)^2 + (y+nh)^2} + \sum_{n=1}^{N-1} \frac{x+nd-L}{(x+nd-L)^2 + (y-nh)^2} - \sum_{n=1}^N \frac{x-nd+L}{(x-nd+L)^2 + (y-nh)^2} \right). \quad (18)$$

В суммах (18) учтено, что в точках *A*, *B*, *C* и *D* (рис. 2) может находиться только одна двойникующая дислокация.

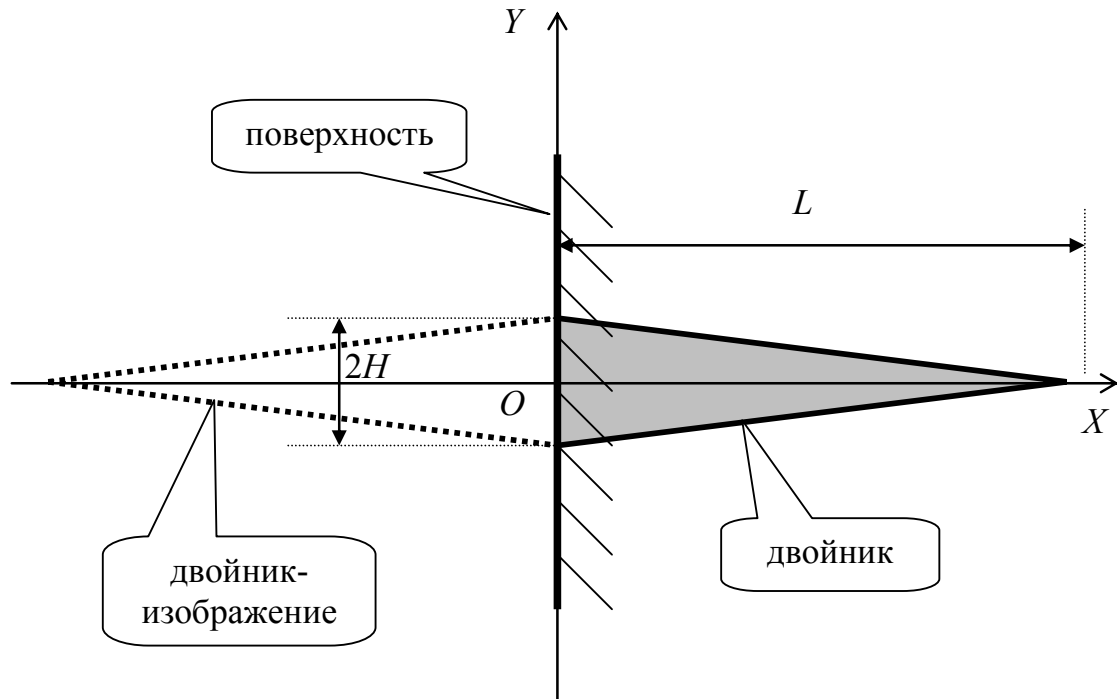


Рис. 2. Схематическое изображение взаимного расположения клиновидного механического нанодвойника, поверхности и двойника-изображения

Результаты расчетов представлены на рис. 3. Принималось:  $0 < x < 30$ ,  $-15 < y < 15$  (в мкм);  $N = 100$ ;  $d = 0,15$  мкм;  $h = 0,05$  мкм. Для удобства вычислялись безразмерные величины:

$$\eta_{ij}(x, y) = \frac{\sigma_{ij}(x, y)}{\sigma_{ij}^{(0)}}, \quad (19)$$

где

$$\sigma_{ij}^{(0)} = A_{ij}/L. \quad (20)$$

Здесь

$$A_{xx} = A_{yy} = A_{xy} = \frac{\mu b_{кр}}{2\pi(1-\nu)}, \quad A_{zz} = \frac{\nu b_{кр}}{2\pi(1-\nu)}, \quad A_{zx} = A_{zy} = \frac{\mu b_B}{2\pi}.$$

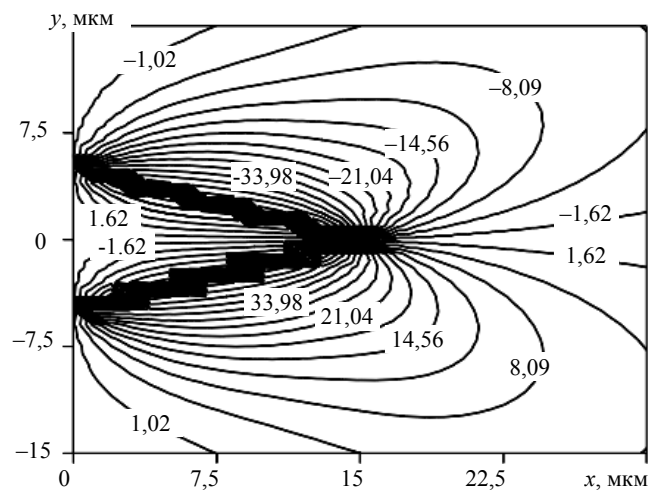


Рис. 3а. Распределение у клиновидного нанодвойника, находящегося у поверхности, характеризующего напряжения параметра  $\eta_{xx}$

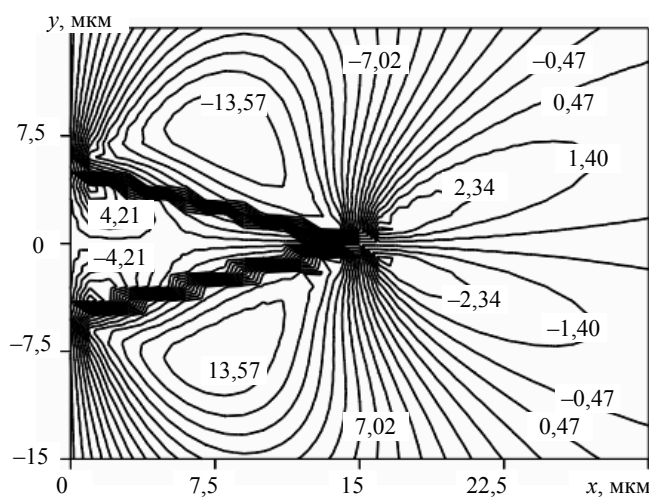


Рис. 3б. Распределение у клиновидного нанодвойника, находящегося у поверхности, характеризующего напряжения параметра  $\eta_{yy}$

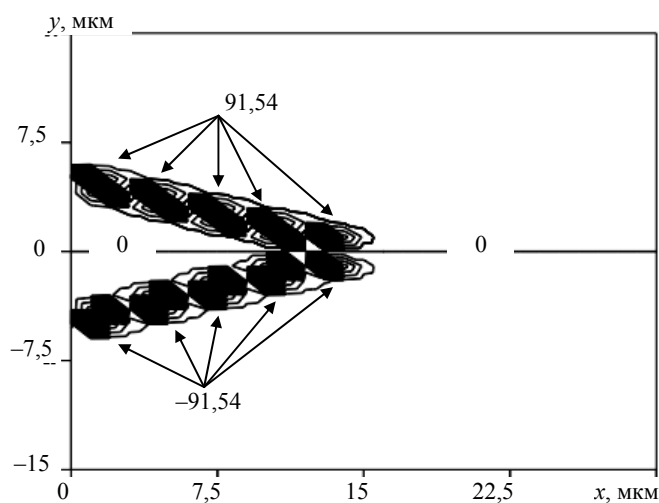


Рис. 3в. Распределение у клиновидного нанодвойника, находящегося у поверхности, характеризующего напряжения параметров  $\eta_{zz}$  и  $\eta_{xz}$

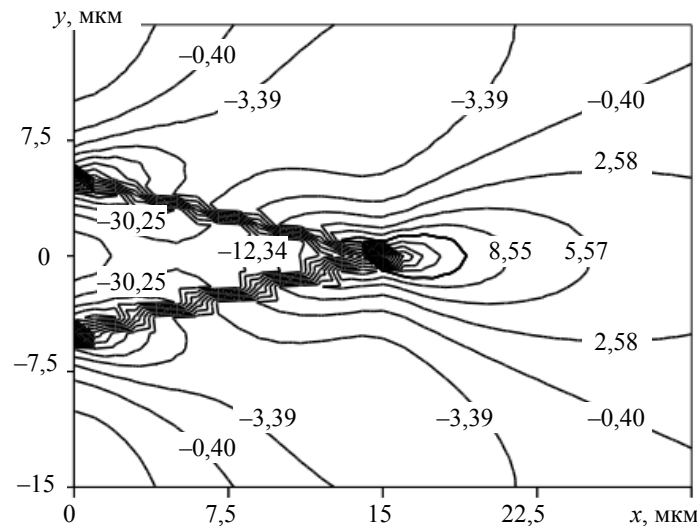


Рис. 3г. Распределение у клиновидного нанодвойника, находящегося у поверхности, характеризующего напряжения параметра  $\eta_{xy}$

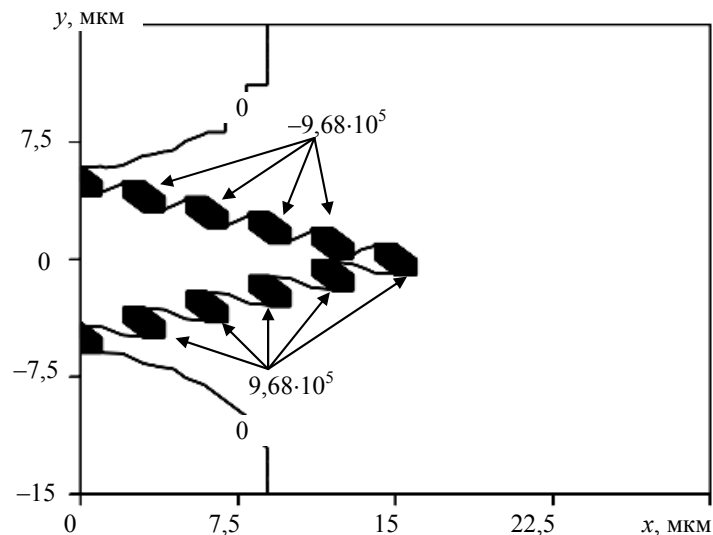


Рис. 3д. Распределение у клиновидного нанодвойника, находящегося у поверхности, характеризующего напряжения параметра  $\eta_{yz}$  (качественный эквивалент  $\sigma_{ij}$ )

Из рис. 3 видно, что максимальные напряжения локализованы на двойниковых границах. Нормальные напряжения  $\sigma_{xx}$  знакопеременны относительно оси  $OX$  (рис. 3а). Данные напряжения также знакопеременны и относительно двойниковых границ. У границы двойника напряжения внутри двойника имеют противоположный знак по отношению к напряжениям с наружной стороны границы клиновидного нанодвойника. При сравнении конфигурации напряжений  $\sigma_{xx}$  у двойников, находящихся у поверхности и вдали от нее, следует отметить, что поверхность на данные напряжения существенного влияния не оказала.

Напряжения  $\sigma_{yy}$  знакопеременны не только относительно оси  $OX$ , границ двойника, но и относительно вершины двойника (рис. 3б). На данные напряжения, как и в предыдущем случае, поверхность существенного влияния не оказывает.

Заметно влияние поверхности на напряжения  $\sigma_{zz}$  и  $\sigma_{xz}$  (рис. 3в). В этом случае, по сравнению с нанодвойником, находящимся вдали от поверхности, напряжения локализуются у двойникующих дислокаций, не компенсируясь дальнедействующими напряжениями. Численное значение этих напряжений на порядок отличается от значений напряжений у нанодвойника вдали от поверхности. Общим в этом случае можно считать то, что у двойника у поверхности и вдали от нее, напряжения  $\sigma_{zz}$  и  $\sigma_{xz}$  знакопеременны относительно оси  $OX$  и вдоль нее равны нулю.

У поверхности также появляются изменения в конфигурации полей скальвающих напряжений  $\sigma_{xy}$  и  $\sigma_{yz}$  (рис. 3г и 3д). Напряжения  $\sigma_{xy}$  у клиновидного нанодвойника вдали от поверхности положительны внутри двойника и отрицательны снаружи, в то время как поверхность способствует перераспределению скальвающих напряжений  $\sigma_{xy}$  таким образом, что они положительны только у вершины двойникового клина. В случае напряжений  $\sigma_{yz}$  наблюдается их существенная локализация на двойниковых границах. При этом роль дальнедействующих напряжений  $\sigma_{yz}$  в общей картине напряжений снижается.

Следует отметить, что точность расчетов напряжений по формулам (18) достаточная, так как погрешность не превышает величину не учитываемых остаточных напряжений у пластически деформированной поверхности.

Таким образом, предложен способ расчета полей напряжений у клиновидного нанодвойника, находящегося у поверхности. Разработана дислокационная модель, позволяющая вести расчет напряжений у клиновидного двойника на таком масштабном уровне, когда возможен учет величины расстояния между двойникующими дислокациями. Показано, что поверхность не оказывает существенного влияния на конфигурацию полей нормальных напряжений у клиновидного нанодвойника. Это влияние существенно в случае скальвающих напряжений.

### Литература

1. Классен-Неклюдова, М. В. Механическое двойникование кристаллов / М. В. Классен-Неклюдова. – М. : АН СССР, 1960. – 262 с.
2. Полухин, П. И. Физические основы пластической деформации / П. И. Полухин, С. С. Горелик, В. К. Воронцов. – М. : Металлургия, 1982. – 584 с.
3. Остриков, О. М. Форма клиновидных двойников в локально деформируемых ионоимплантированных монокристаллах висмута / О. М. Остриков // Изв. высш. учеб. заведений. Сер. Черная металлургия. – 2006. – № 9. – С. 5–7.
4. Финкель, В. М. Разрушение кристаллов при механическом двойниковании / В. М. Финкель, В. А. Федоров, А. П. Королев. – Ростов н/Д, 1990. – 172 с.
5. Остриков, О. М. Исследование механического двойникования монокристаллов сурьмы методом наноиндентирования / О. М. Остриков, С. Н. Дуб // Инженер.-физ. журн. – 2003. – Т. 76, № 1. – С. 170–172.
6. Остриков, О. М. Влияние импульсного электрического тока большой плотности на особенности двойникования монокристаллов висмута / О. М. Остриков // Физика и химия обработки материалов. – 2003. – № 1. – С. 12–15.
7. Остриков, О. М. Особенности зарождения клиновидных двойников у отпечатка пирамиды Вика на поверхности (111) монокристаллов висмута / О. М. Остриков // Материаловедение. – 2002. – № 1. – С. 17–20.

8. Савенко, В. С. Влияние импульсов тока на двойникование металлических кристаллов : автореф. дис. ... канд. физ.-мат. наук / В. С. Савенко. – Минск, 1982. – 16 с.
9. Пинчук, А. И. Влияние электромагнитного поля на пластическую деформацию двойникованием кристаллов висмута : автореф. дис. ... канд. физ.-мат. наук / А. И. Пинчук. – Минск, 1998. – 18 с.
10. Остриков, О. М. Двойникование ионно-имплантированных монокристаллов висмута : автореф. дис. ... канд. физ.-мат. наук / О. М. Остриков. – Минск, 1999. – 17 с.
11. Остриков, О. М. Распределение легирующего компонента в полисинтетических двойниках и теоретический прогноз формирования слоистых материалов с использованием явления полисинтетического двойникования / О. М. Остриков // *Материалы. Технологии. Инструменты.* – 2006. – Т. 11, № 3. – С. 54–56.
12. Остриков, О. М. Дислокационная макроскопическая модель клиновидного двойника / О. М. Остриков // *Вестн. Гомел. гос. техн. ун-та им. П. О. Сухого.* – 2006. – № 2. – С. 10–18.
13. Остриков, О. М. Напряженное состояние у вершины клиновидного двойника / О. М. Остриков // *Механика твердого тела.* – 2004. – № 2. – С. 104–113.
14. Хирт, Дж. Теория дислокаций / Дж. Хирт, И. Лоте. – М. : Атомиздат, 1972. – 600 с.
15. Старовойтов, Э. И. Основы теории упругости, пластичности и вязкоупругости / Э. И. Старовойтов. – Гомель : БелГУТ, 2001. – 344 с.
16. Ландау, Л. Д. Теория упругости / Л. Д. Ландау, Е. М. Лифшиц. – М. : Наука, 1987. – 246 с.

*Получено 07.02.2012 г.*